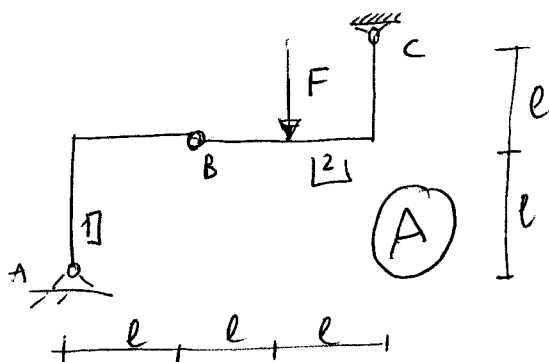


NOTE SULLE CERNIERE CARICATE CON FORZE CONCENTRATE

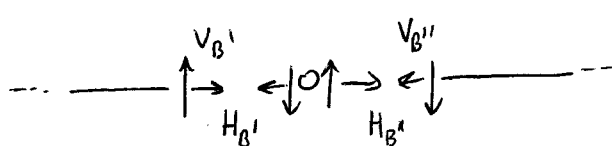


In questo caso le incognite statiche sono 6: $H_A, V_A, H_C, V_C, V_B, H_B$.

Le equat. di disposizione sono

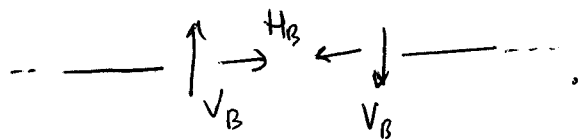
6: 3 per il corpo [1], 3 per il corpo [2].

In questo schema si deve scontato che la cerniere B sia in equilibrio:

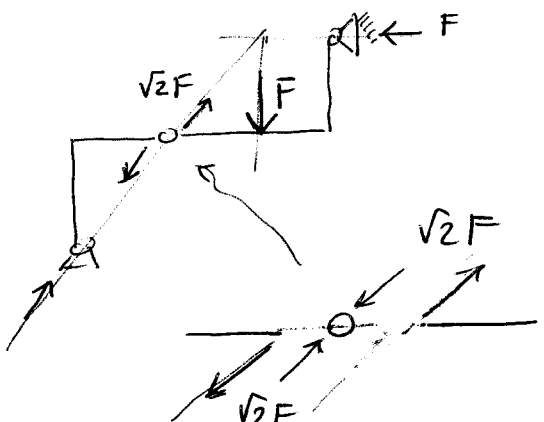


l'eq. delle cerniere:

$$H_B'' = H_B' ; \quad V_B'' = V_B' \quad \text{da cui}$$



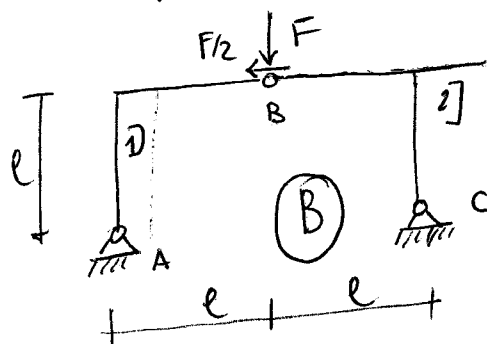
Solut. esercizio precedente



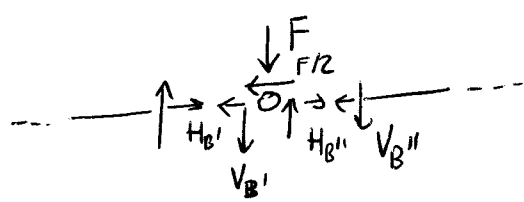
Quando la cerniere è vinicata

$H_B \neq H_B''$; $V_B \neq V_B''$: le incognite

dell problema diventano 8:



$$V_A, H_A, V_C, H_C, H_B', V_B', H_B'', V_B''$$



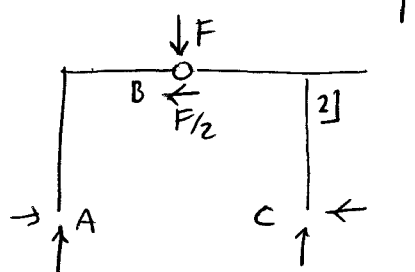
⇒ (1)

Le equazioni di disposizione sono però 8:

3 C.R. $\boxed{1}$, 3 C.R. $\boxed{2}$, 2 equilibrio centrale:

$$\rightarrow: H_B' + \frac{F}{2} - H_B'' = 0 ; \quad \uparrow: -V_B' - F + V_B'' = 0$$

Per risolvere l'esercizio si possono scrivere 3 eq. eq. globale + 1 ausiliarie per ottenere V_A, H_A, V_C, H_C :



$$\rightarrow: H_A - F/2 - H_C = 0$$

$$\uparrow: V_A + V_C - F = 0$$

$$\text{A)}: V_C 2\ell + \frac{F}{2} \ell - F \ell = 0$$

$$M_{B+}^{\text{eq}}: V_C \ell - H_C \ell = 0$$

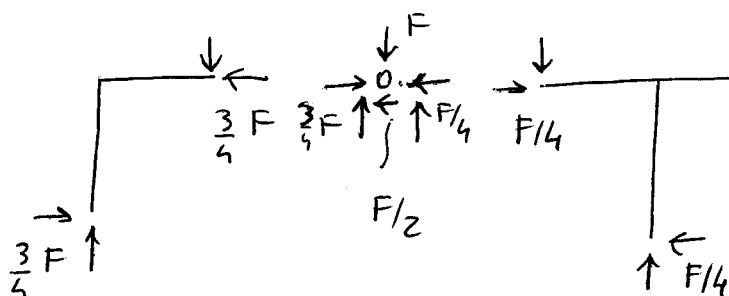
$$H_A = \frac{3}{4} F$$

$$V_A = F - V_C = \frac{3}{4} F$$

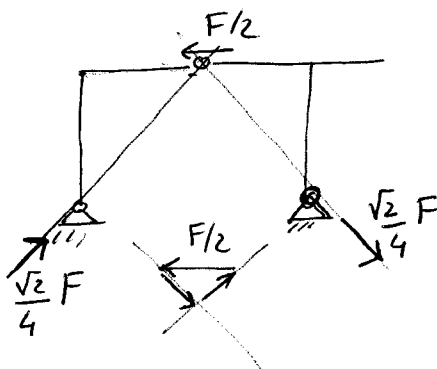
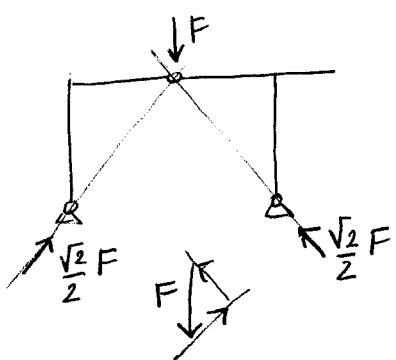
$$V_C = \frac{F}{4}$$

$$H_C = \frac{F}{4}$$

Poi si equilibrano i corpi $\boxed{1}$ e $\boxed{2}$ e si verifica che le tensioni siano anche esse in equilibrio:

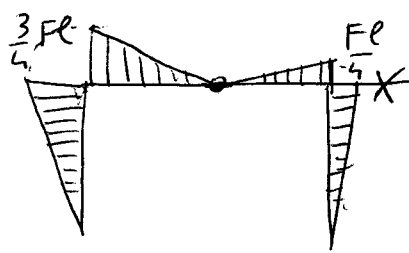
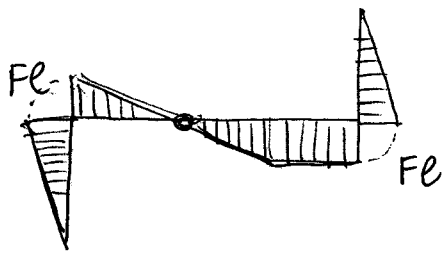


Graphicamente:

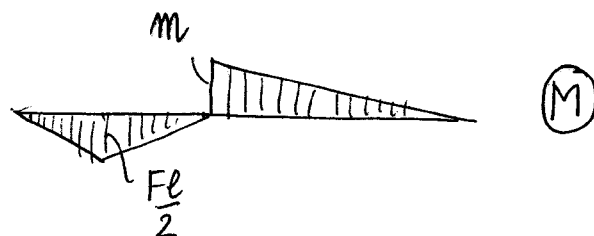
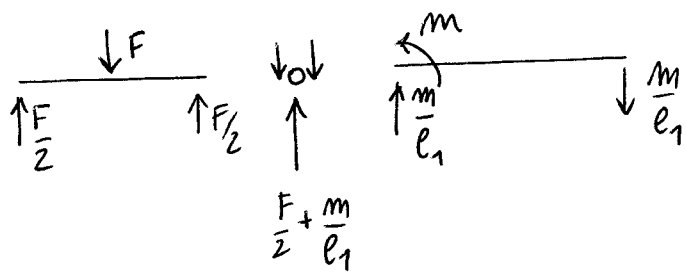
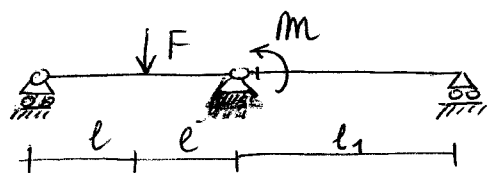


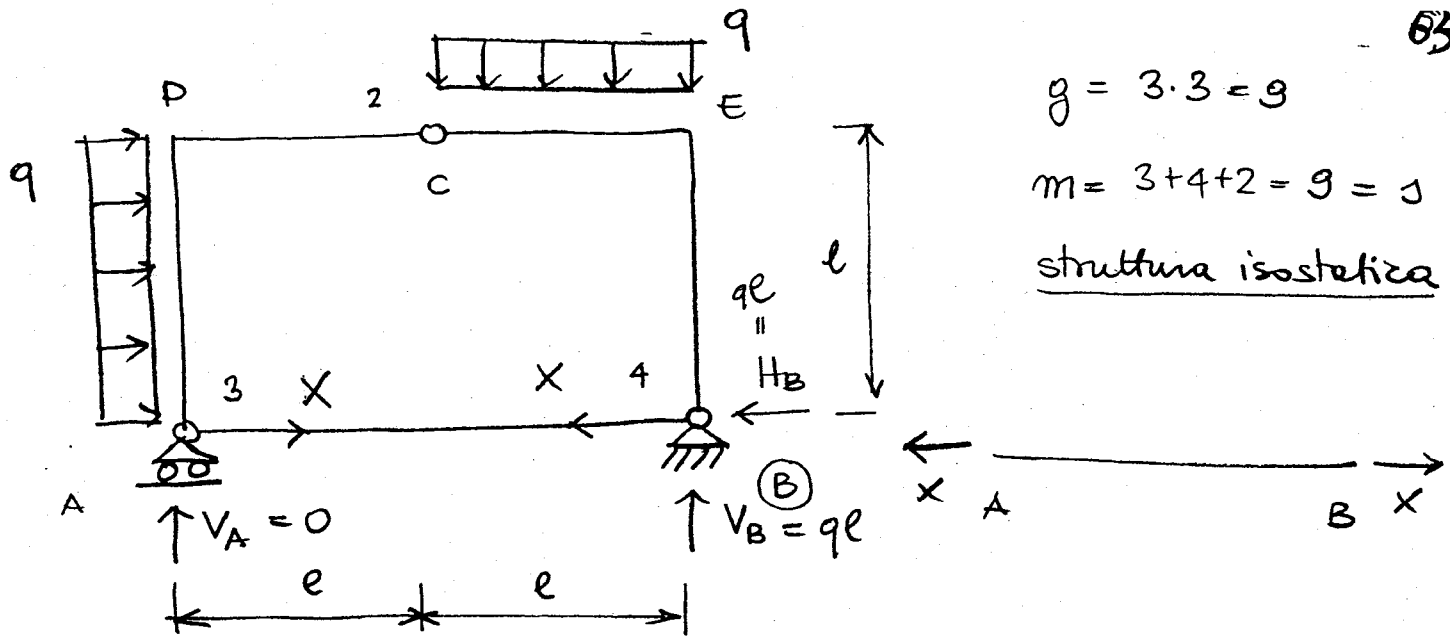
La somma dei 2 si ha: corrisponde al calcolo analitico.

Diagrammi dei momenti delle strutture A e B



Altro esercizio semplificato: trave gerba con vincoli interni/esterni:



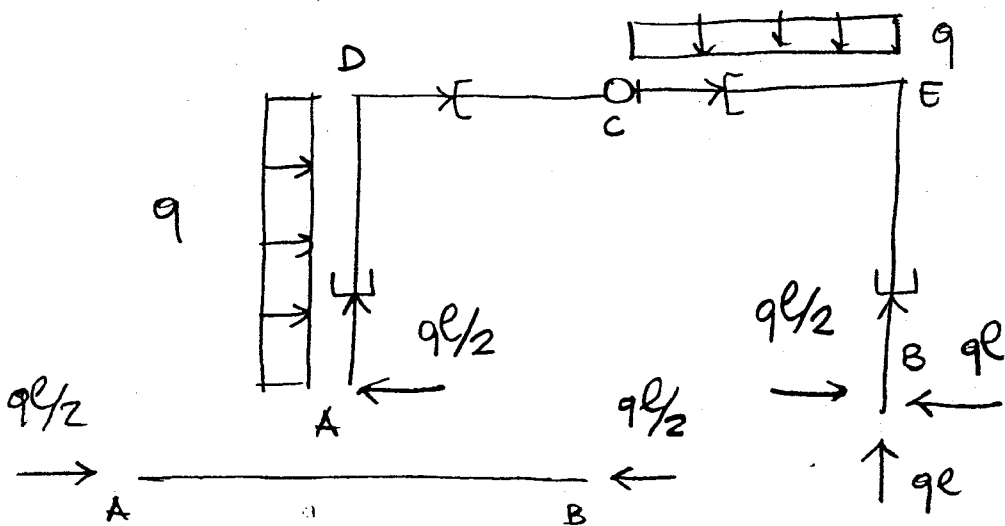


Trattiamo le regioni muscolari

$$\left\{ \begin{array}{l} -H_B + ql = 0 \quad H_B = ql \\ V_A + V_B - ql = 0 \quad V_B = ql \\ -V_A 2e + \frac{qe^2}{2} + \frac{qe^2}{2} = 0 \Rightarrow V_A = 0 \end{array} \right.$$

Appensiamo la struttura, sostituendo al tratto AB l'azione interna incognita X . Per determinare X scriviamo un'equazione auxiliare per il tratto CA, ovvero $M_{CA} = 0$.

$$x\ell + \frac{q\ell^2}{2} = 0 \quad \Rightarrow \quad x = -\frac{q\ell}{2} \quad (\text{verso opposto a quello ipotizzato})$$



AB ($0 \leq z_3 \leq 2e$)

$$\begin{cases} N = -\frac{qe}{2} \\ T = M = 0 \end{cases}$$

AD ($0 \leq z_3 \leq e$)

$$\begin{cases} N = 0 \\ T = \frac{qe}{2} - qx_3 \\ M = \frac{qe}{2}x_3 - \frac{qx_3^2}{2} \end{cases}$$

DC ($0 \leq z_3 \leq e$)

$$\begin{cases} N = -\frac{qe}{2} \\ T = 0 \\ M = \frac{qe}{2}e - qel\frac{e}{2} = 0 \end{cases}$$

CE ($0 \leq z_3 \leq e$)

$$\begin{cases} N = -\frac{qe}{2} \\ T = -qx_3 \\ M = -q\frac{x_3^2}{2} \end{cases}$$

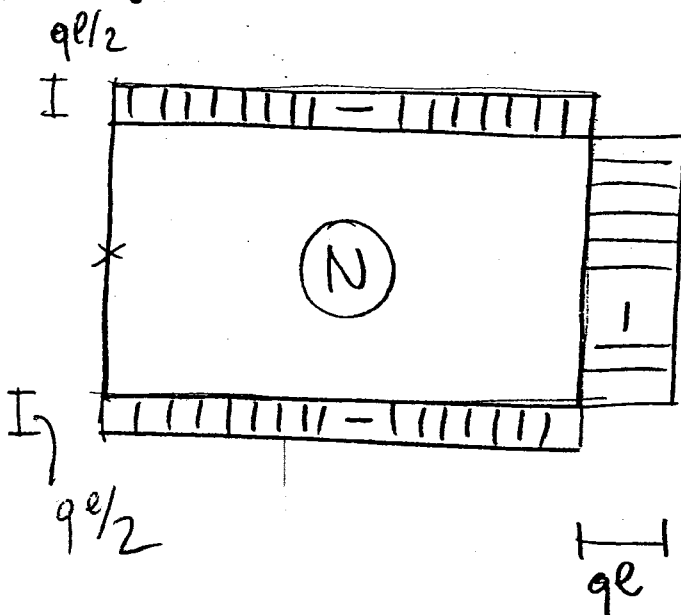
BE ($0 \leq z_3 \leq e$)

$$\begin{cases} N = -qe \\ T = qe/2 \\ M = \frac{qe}{2}x \end{cases}$$

$\frac{qe}{2}$

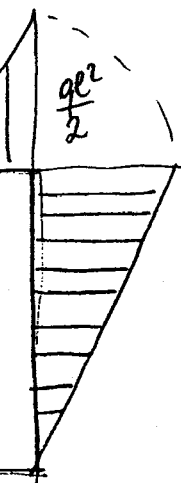
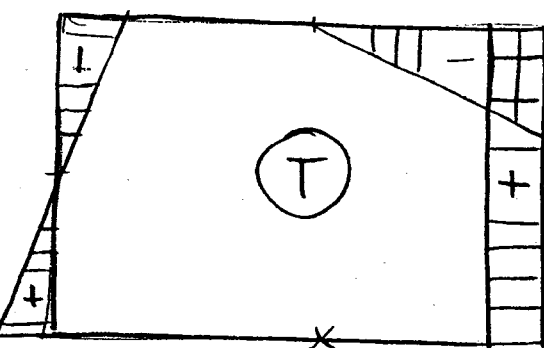
qe

diagrammi:



$\frac{qe}{2}$

H



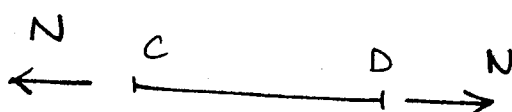
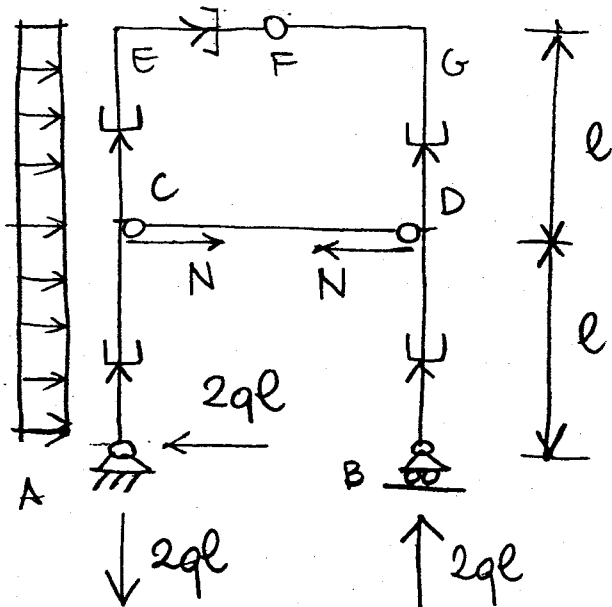
$\frac{qe^2}{8}$

H

69

9

65



Per aprire la struttura
è conveniente sostituire
le bille con la forza
N che essa trasmette alla
struttura (1 sola incognita)

e.e.a:

$$M_{FB} = \frac{2ql^2}{2} - Nl = 0 \quad N = ql$$

AC ($0 \leq x_3 \leq l$):

$$\begin{cases} N = 2ql \\ T = 2ql - qx_3 \\ M = 2qlx_3 - \frac{qx_3^2}{2} \end{cases}$$

CE ($0 \leq x_3 \leq l$)

$$\begin{cases} N = 2ql \\ T = -qx_3 \\ M = 2ql(l + \frac{x_3}{2}) - qlx_3 - \frac{q(l+x_3)^2}{2} \end{cases}$$

EG ($0 \leq x_3 \leq l$):

$$= \frac{3}{2}ql^2 - \frac{qx_3^2}{2}$$

$$\begin{cases} N = -ql \\ T = -2ql \\ M = 2ql(l-x_3) - ql^2 \\ = ql^2 - 2qlx_3 \end{cases}$$

DG ($0 \leq x_3 \leq l$)

$$\begin{cases} N = -2ql \\ T = ql \\ M = qlx_3 \end{cases}$$

BD

$$\begin{cases} N = -2ql \\ M = T = 0 \end{cases}$$

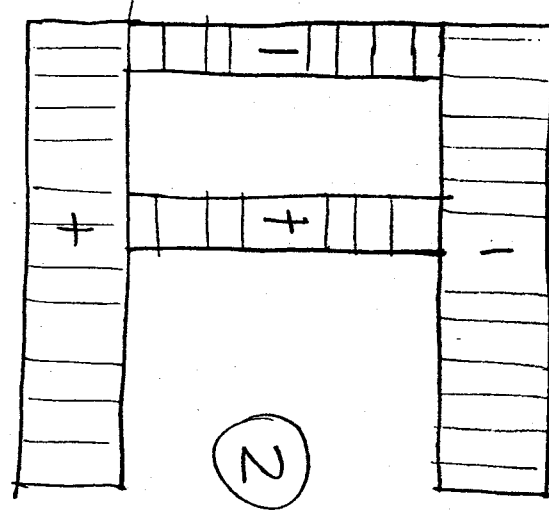
$$\begin{cases} \frac{CD}{N} = ql \\ M = T = 0 \end{cases}$$

Diagrammi

66

ρI

ϵI



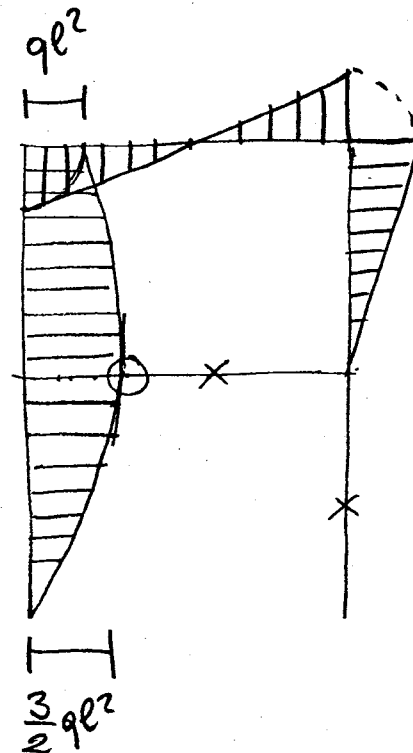
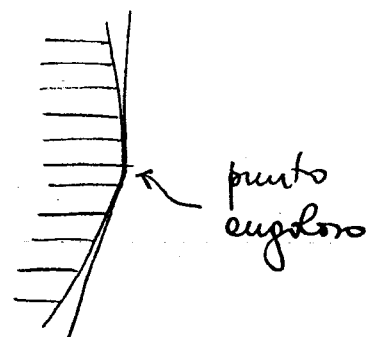
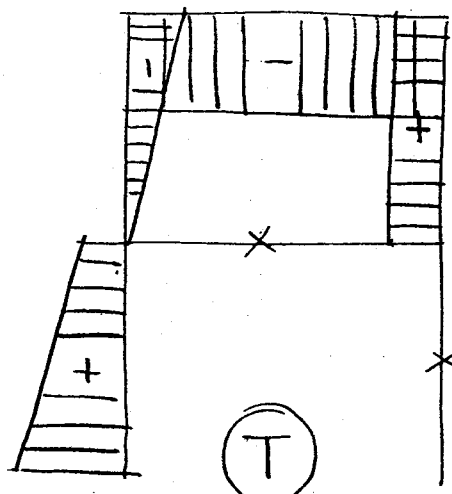
$\frac{1}{2}ql$

$\frac{1}{2}ql$

$qI = qI$

I

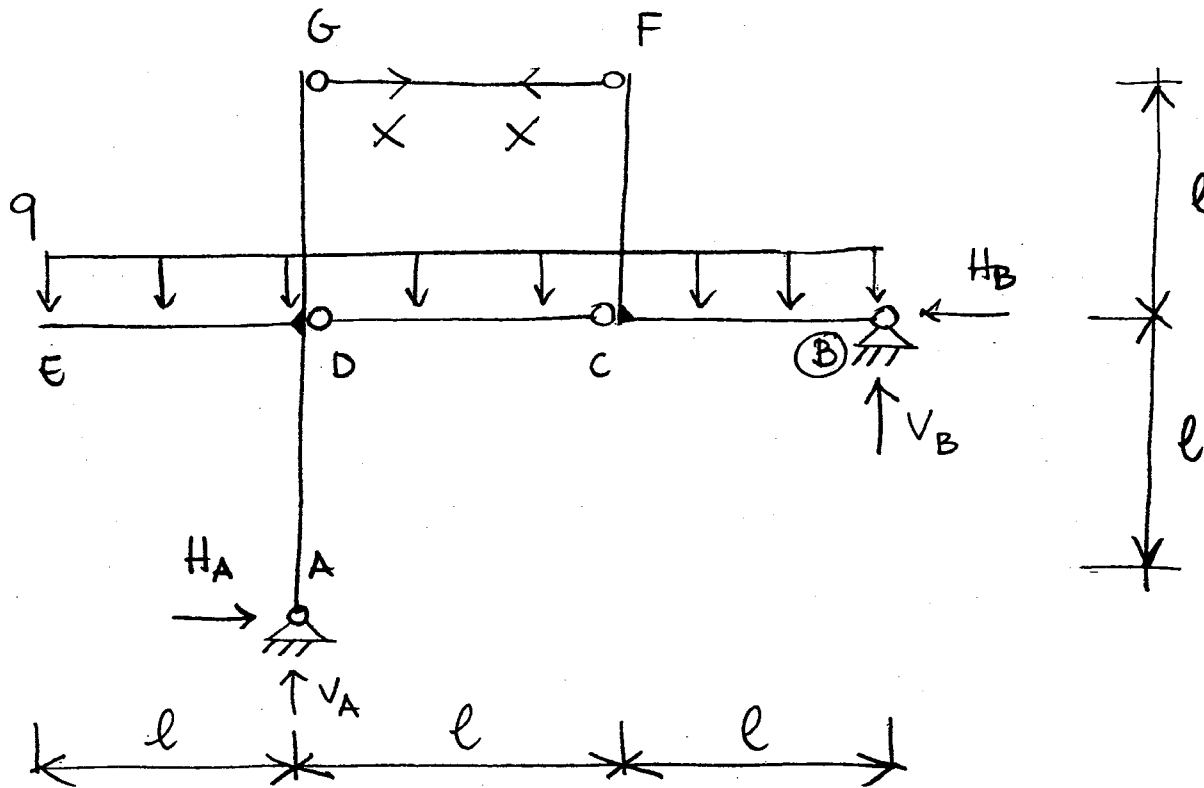
I_{2ql}



I_{ql^2}

M

$\frac{3}{2}ql^2$



e.e.g:

$$\left\{ \begin{array}{l} H_A - H_B = 0 \\ V_A + V_B = 3ql \\ -V_A 2l + H_A l + \frac{q}{2} ql^2 = 0 \end{array} \right.$$

3 eqn nelle
4 incognite:
 V_A V_B H_A e H_B

e.e.a: introduco l'incognita X e scrivo 2 eeq:

$$M_{CFB} = Xl + V_B l - \frac{q l^2}{2} = 0$$

$$M_{DFB} = Xl + V_B 2l - 2ql^2 = 0$$

da cui ottengo:

$$V_B = \frac{3}{2} ql$$

$$X = -ql$$

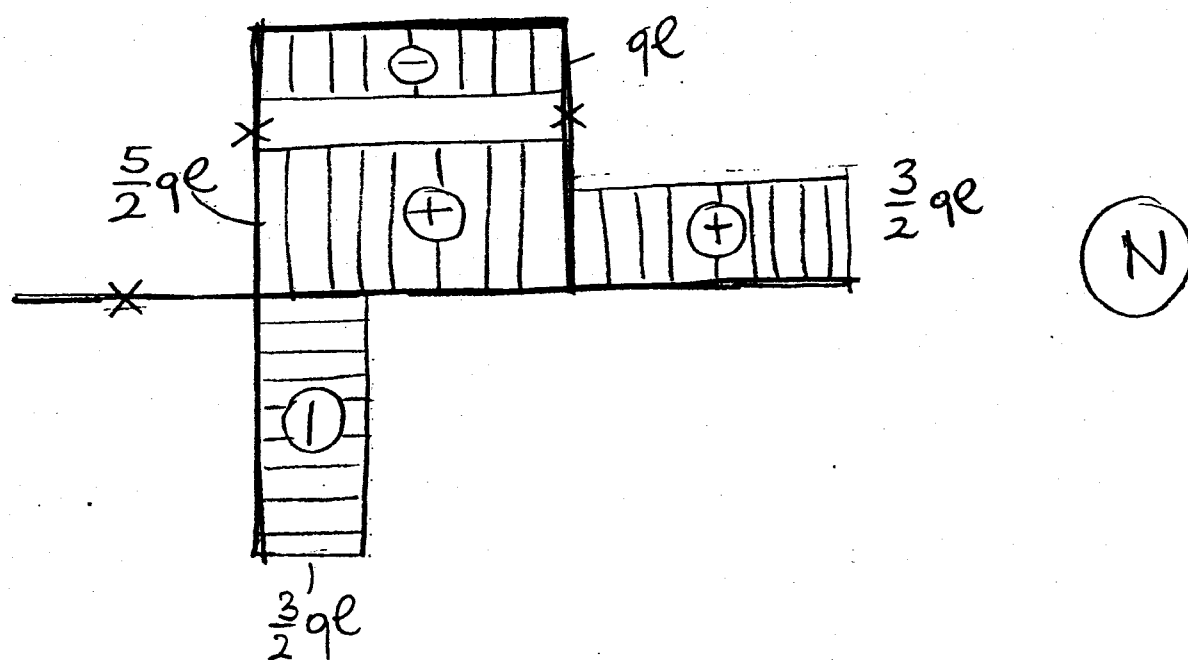
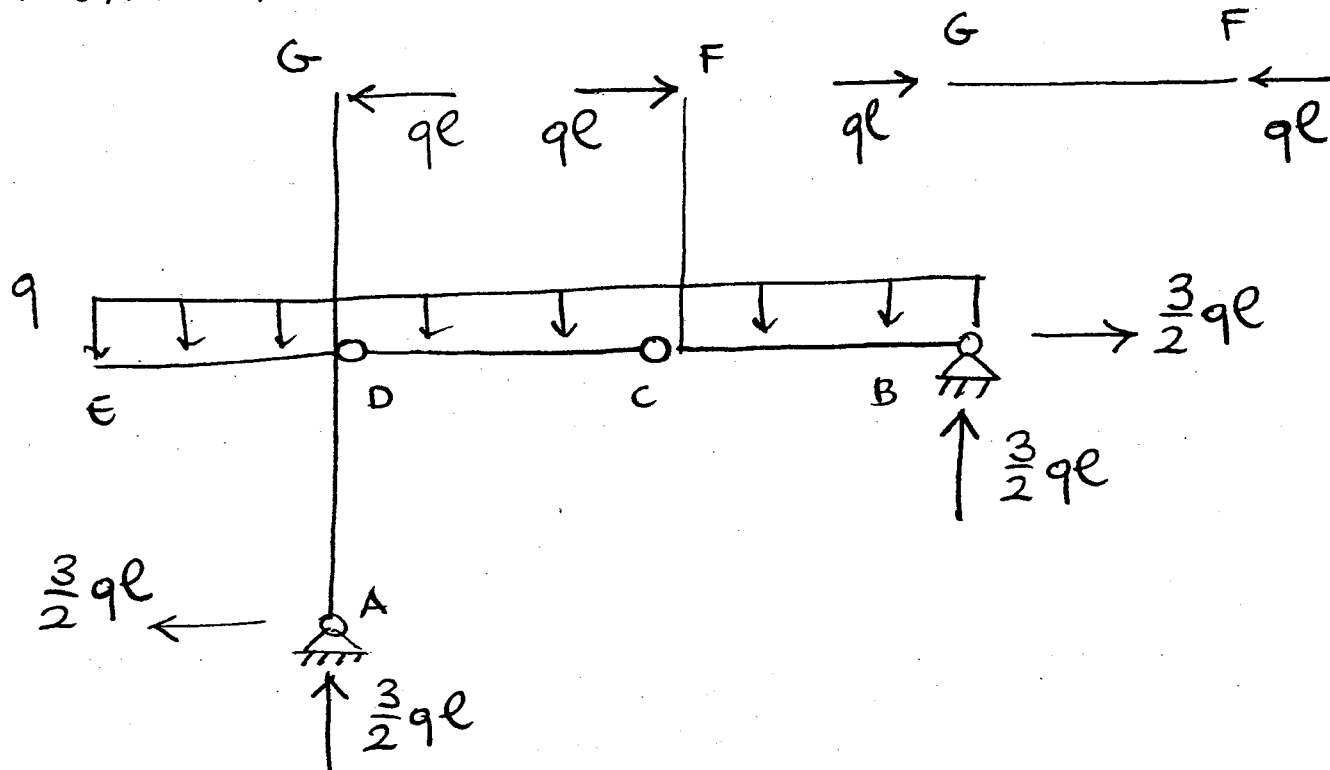
(verso contrario a quello ipotizzato)

sostituendo V_B nelle e.e.g.: si ottiene:

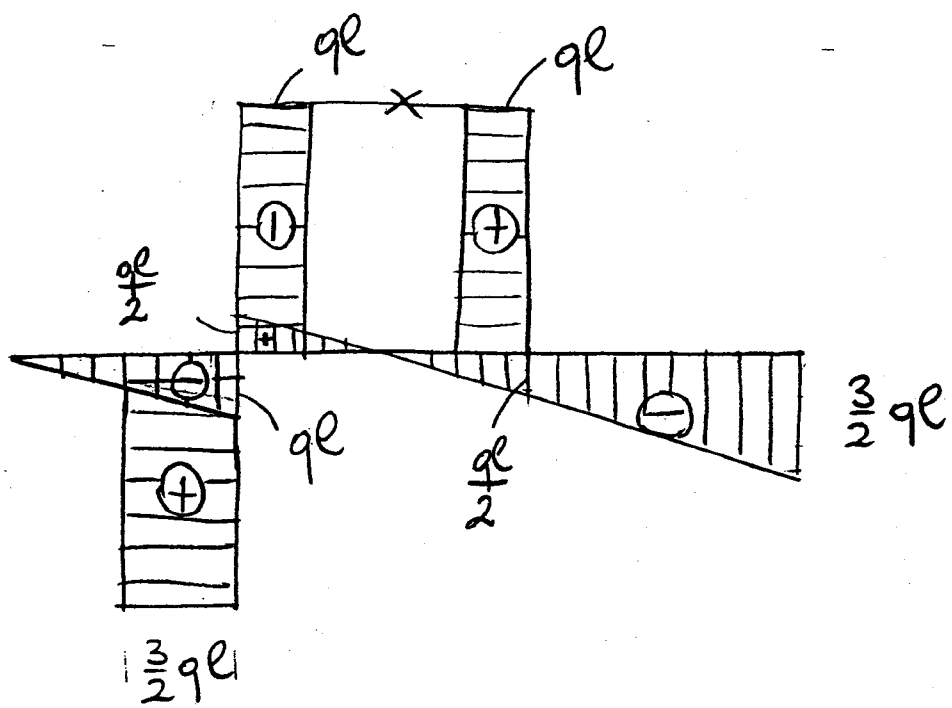
$$V_A = \frac{3}{2} qe$$

$$H_A = -\frac{3}{2} qe = H_B$$

Pertanto:

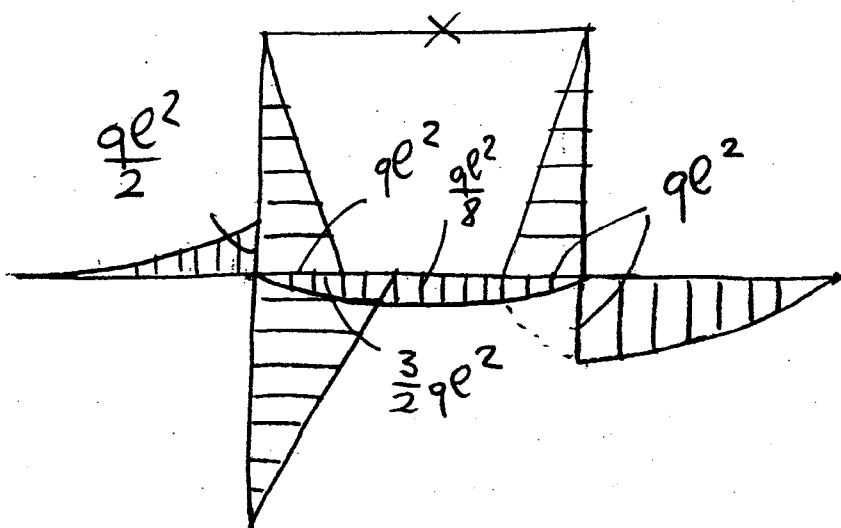


71



(T)

$$\frac{3}{2}qe$$



(M)

$$qe^2$$

$$qe^2$$

$$\frac{qe^2}{8}$$

$$\frac{3}{2}qe^2$$

Le reazioni vincolari di tale struttura sono già state calcolate nell'esercizio 2 del paragrafo 1.5 e valgono:

$$(a) \quad V_A = \frac{pR}{4}, \quad V_B = \frac{3pR}{4}, \quad H = \frac{pR}{4}.$$

Assunta a qualificare la posizione della generica sezione del semiarco AC l'ascissa angolare ω ed operando con le forze a sinistra (fig. 55) si ha:

$$N(\omega) = -H \sin \omega - V_A \cos \omega = -\frac{pR}{4}(\sin \omega + \cos \omega)$$

$$(b) \quad T(\omega) = -H \cos \omega + V_A \sin \omega = \frac{pR}{4}(\sin \omega - \cos \omega)$$

$$\begin{aligned} M(\omega) &= -HR \sin \omega + V_A R(1 - \cos \omega) = \\ &= \frac{pR^2}{4}(1 - \sin \omega - \cos \omega). \end{aligned}$$

Le (b) sono valide in tutto l'intervallo:

$$(c) \quad 0 \leq \omega \leq \frac{\pi}{2}.$$

Per determinare le caratteristiche nell'intervallo:

$$(d) \quad \frac{\pi}{2} \leq \omega \leq \pi$$

conviene operare con le forze a destra (fig. 56) assumendo la variabile ausiliaria:

$$(e) \quad \vartheta = \pi - \omega.$$

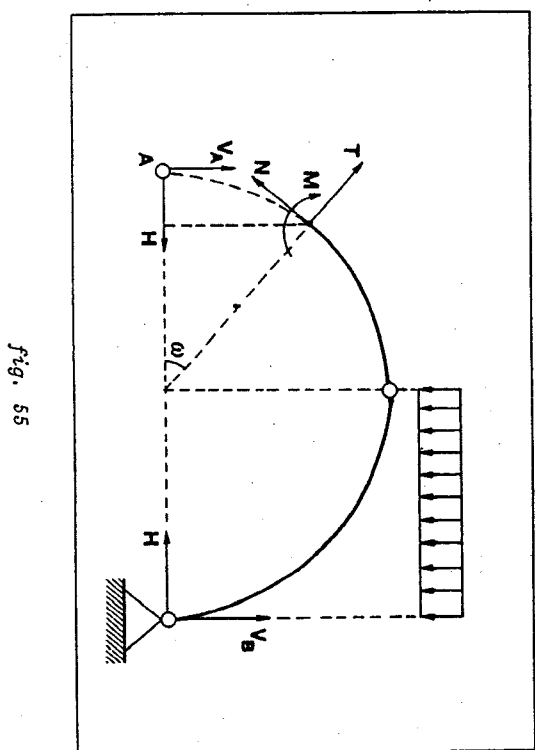
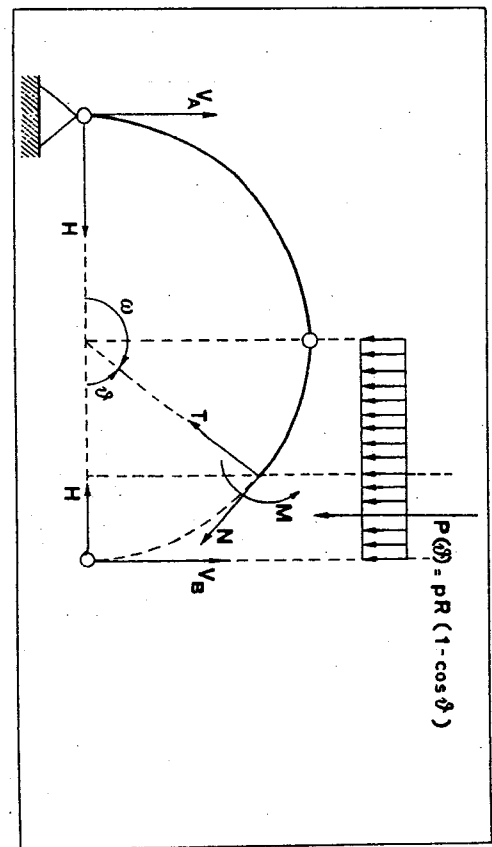


fig. 55

In questo caso fra le forze agenti lungo l'arco sotteso dall'angolo ϑ bisognerà annoverare, oltre alle reazioni vincolari della cerniera B , il carico:

$$(f) \quad P(\vartheta) = pR(1 - \cos \vartheta)$$

che compete al segmento di arco anzidetto.

Si ha così:

$$\begin{aligned} N(\vartheta) &= -H \sin \vartheta - V \cos \vartheta + P(\vartheta) \cos \vartheta = \\ &= -\frac{pR}{4} (\sin \vartheta - \cos \vartheta + 4 \cos^2 \vartheta) \\ T(\vartheta) &= H \cos \vartheta - V \sin \vartheta + P(\vartheta) \sin \vartheta = \\ &= \frac{pR}{4} (\sin \vartheta + \cos \vartheta + 4 \sin \vartheta \cos \vartheta) \\ M(\vartheta) &= -HR \sin \vartheta + VR(1 - \cos \vartheta) + \\ &\quad - P(\vartheta) \frac{R(1 - \cos \vartheta)}{2} = \\ &= \frac{pR^2}{4} (1 - \sin \vartheta + \cos \vartheta - 2 \cos^2 \vartheta). \end{aligned}$$

Riscrivendo le (g) in conformità con la (e) si ha in definitiva:

$$\begin{aligned} (h) \quad N(\omega) &= -\frac{pR}{4} (\sin \omega + \cos \omega + 4 \cos^2 \omega) \\ T(\omega) &= \frac{pR}{4} (\sin \omega - \cos \omega + 4 \sin \omega \cos \omega) \\ M(\omega) &= \frac{pR^2}{4} (1 - \sin \omega - \cos \omega - 2 \cos^2 \omega). \end{aligned}$$

Le (h), valide in tutto l'intervento (d), consentono, insieme alle (b) di valutare le caratteristiche della sollecitazione in una qualunque sezione della struttura in esame.

1.10. IL CALCOLO DELLE AZIONI INTERNE NELLE TRAVATURE RETICOLARI PIANE

Un ceppo a parte meritano le travature reticolari che, com'è noto, sono strutture variamente vincolate esternamente costituite da elementi rettilinei o curvilinei (aste) articolate alle estremità in punti detti *nodi* nei quali si ritengono applicate le forze esterne (fig. 57).

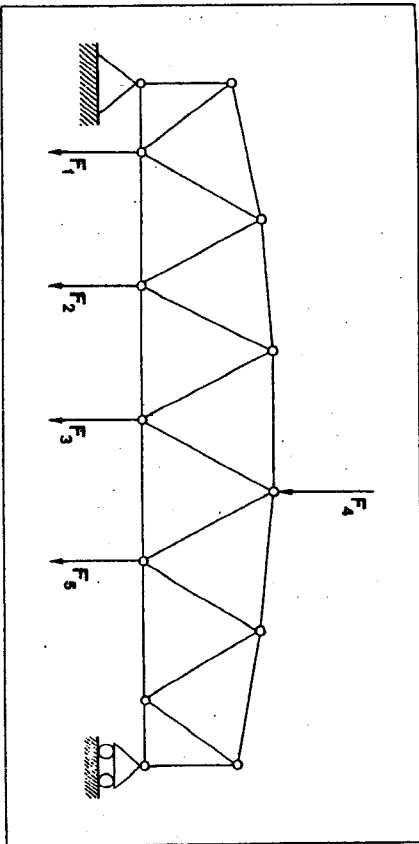


fig. 57

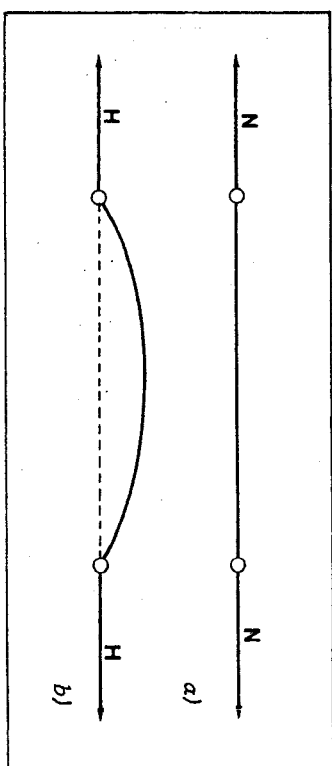


fig. 58